

Н.А. Ковтун

Дослідження властивостей полікристалічних плівок ZnO, легованих Al, отриманих методом неактивного магнетронного розпилу

Національний технічний університет «ХПІ»
вул. Фрунзе 21, Харків, 61002, Україна
E-mail: root@fmg.kpi.kharkov.ua, nazarkol@ukr.net

Досліджено структурні, електричні та оптичні властивості прозорих шарів ZnO:Al, отриманих методом високочастотного неактивного магнетронного розпилу. Оптимізовані оптоелектричні властивості плівок ZnO:Al, осаджених при різних значеннях температури підкладки і робочого тиску в вакуумній камері. Встановлено, що при збільшенні тиску від 1 мкбар до 20 мкбар спостерігається збільшення питомого опору у зв'язку із зменшенням концентрації та рухливості основних носіїв заряду, що у свою чергу пов'язано з погіршенням структурної якості отриманих плівок.

Ключові слова: фотоелектричні перетворювачі, широкозонні напівпровідникові “вікна”, тонкі плівки, магнетронний розпил, оптичні та електричні властивості, рентгенодифрактометричні дослідження, структура.

Стаття постуила до редакції 01.02.2004; прийнята до друку 20.10.2004.

I. Вступ

Тонкі прозорі провідні полікристалічні плівки ZnO:Al представляють інтерес як широкозонні напівпровідникові “вікна” у плівкових фотоелектричних перетворювачах (ФЕП) сонячної енергії [1-4]. В даний час різними методами, у тому числі і таким високотехнологічним методом, як магнетронне розпилення, отримані плівки ZnO:Al з оптимальними параметрами, що дозволяють використовувати такі шари в конструкціях ФЕП. Але проблема оптимізації електрооптичних властивостей плівок ZnO:Al, отриманих методом магнетронного розпилення при варіюванні технологічних параметрів осадження, все ще залишається актуальною.

У даній статті представлені результати дослідження електрооптичних властивостей плівок ZnO:Al, отриманих при варіюванні таких фізико-технологічних умов магнетронного розпилення, як робочий тиск у вакуумній камері і температура підкладки, що згідно літературним даним [5-7] здійснюють найбільш істотний вплив на електрооптичні властивості осаджених шарів.

II. Експеримент

Полікристалічні плівки ZnO:Al осаджувалися на підкладки з тонкого скла „Croning“ методом

високочастотного неактивного магнетронного RF-розпилення (radio frequency) (рис. 1) [5]. Розпилення проводилось з використанням керамічної мішені ZnO:Al зі змістом Zn – 98 ат. % і Al – 2 ат. %. Вихідний тиск у вакуумній камері складав $8 \cdot 10^{-4}$ мкбар. Потужність магнетрону була постійною і рівнялась 150 Вт. При проведенні серії експериментів змінювався робочий тиск (P) у камері за рахунок посилення інтенсивності роботи турбомолекулярного насоса. Робочий тиск змінювався у межах 1 мкбар, 5 мкбар 10 мкбар, 15 мкбар, 20 мкбар. Швидкість подачі аргону для створення плазми була постійною і складала 10 см³/с. Температура підкладки (Ts) рівнялась кімнатній температурі (RT) і 150⁰С. В результаті експериментів були отримані плівки товщиною 300 нм і 1000 нм.

Для ідентифікації кристалічної структури шарів ZnO:Al були проведені рентгеноструктурні дослідження. Вони виконувалися за допомогою рентгенівського дифрактометра у випромінюванні мідного анода. Фокусування здійснювалося по методу Бреґга-Брентано (θ - 2θ). При цьому по ширині отриманих відображень, визначався розмір області когерентного розсіювання, величина мікродеформацій.

Величина питомого електроопору (ρ) визначалася чотирьохзондовим методом з лінійним розташуванням контактів. Концентрація (n) і рухливість основних носіїв заряду (μ)

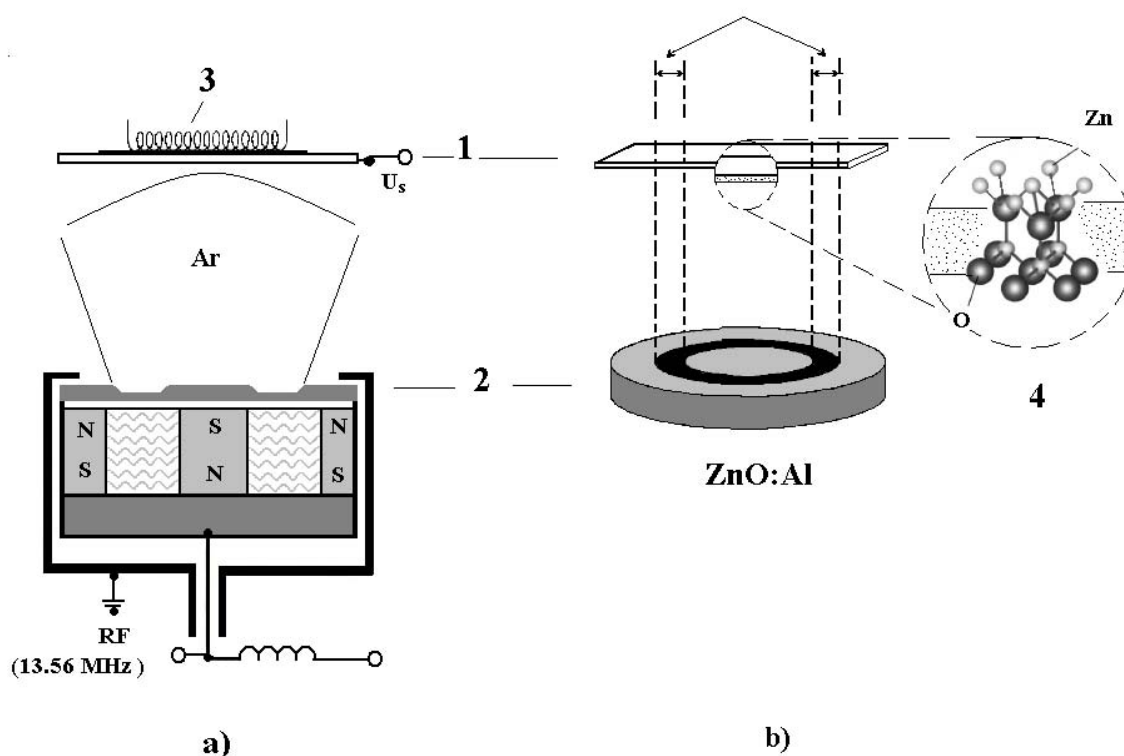


Рис. 1. Схема магнетронного розпилу:

- а)- магнетронна система (1), нагрівач (5) з підкладкою (3);
 б)- система підкладки (3) - мішень (2) із зоною ерозії (4) і плівкою, що осаджується (6).

розраховувалися на підставі вимірів е.р.с. Холу [9].

Коефіцієнти пропускання (T) і товщина плівок (d) вимірялися в діапазоні довжин хвиль (λ) 300-2000 нм спектродетекторним двоканальним методом.

III. Результати і обговорення

Перед проведенням експерименту була встановлена залежність швидкості осадження (D) шарів від робочого тиску у вакуумній камері. У даній роботі розглядаються плівки з товщиною 300 нм і 1000 нм, а шари, осаджені при різних значеннях тиску, мають різні товщини, тому що отримані при різних швидкостях осадження. На рис. 2 представлені результати визначення швидкості осадження шарів ZnO:Al, отриманих при температурах підкладки RT і 1500C. Встановлено, що із зменшенням робочого тиску від 20 мкбар до 1 мкбар при незмінному часі осадження збільшується товщина осаджених плівок, що зв'язано із збільшенням швидкості росту в результаті інтенсифікації процесу розпилення мішені при низькому тиску. Збільшення швидкості росту шарів зі зменшенням робочого тиску спостерігається як для плівок, отриманих при кімнатній температурі, так і при температурі підкладки $T_s = 150^\circ\text{C}$. Після встановлення швидкості осадження були отримані шари ZnO:Al товщиною 300 нм і 1000 нм при варіюванні робочого тиску в межах 1 мкбар, 5 мкбар,

10 мкбар, 15 мкбар, 20 мкбар і температурі підкладки 150°C і RT.

Результати дослідження залежності питомого електроопору, концентрації, рухливості основних носіїв заряду і максимального значення коефіцієнта пропускання у видимому діапазоні від температури підкладки і робочого тиску плівок, заданих товщин представлено в таблиці. На рис. 3 показано графіки залежності електрооптичних параметрів шарів ZnO:Al від перерахованих вище фізико-технологічних параметрів магнетронного розпилення.

Аналіз таблиці показує, що при постійній потужності магнетрона 150 Вт збільшення робочого тиску у вакуумній камері приводить до збільшення питомого електроопору. Так для шарів з товщиною 300 нм, отриманих при $T_s = \text{RT}$, збільшення робочого тиску від 1 мкбар до 20 мкбар приводить до збільшення питомого електроопору від $5,6 \cdot 10^{-4}$ Ом·см до $21,3 \cdot 10^{-4}$ Ом·см, що пов'язано із зменшенням n від $13 \cdot 10^{20} \text{ см}^{-3}$ до $4,2 \cdot 10^{20} \text{ см}^{-3}$ і незначним зменшенням рухливості від $8,5 \text{ см}^2/(\text{В} \cdot \text{с})$ до $5,64 \text{ см}^2/(\text{В} \cdot \text{с})$. Для шарів з товщиною 1000 нм, також отриманих при $T_s = \text{RT}$, питомий електроопір збільшується від $3 \cdot 10^{-4}$ Ом·см до $37,7 \cdot 10^{-4}$ Ом·см, що викликано зменшенням концентрації основних носіїв заряду від $21 \cdot 10^{20} \text{ см}^{-3}$ до $9,9 \cdot 10^{20} \text{ см}^{-3}$ і зменшенням їх рухливості від $9,9 \text{ см}^2/(\text{В} \cdot \text{с})$ до $1,7 \text{ см}^2/(\text{В} \cdot \text{с})$.

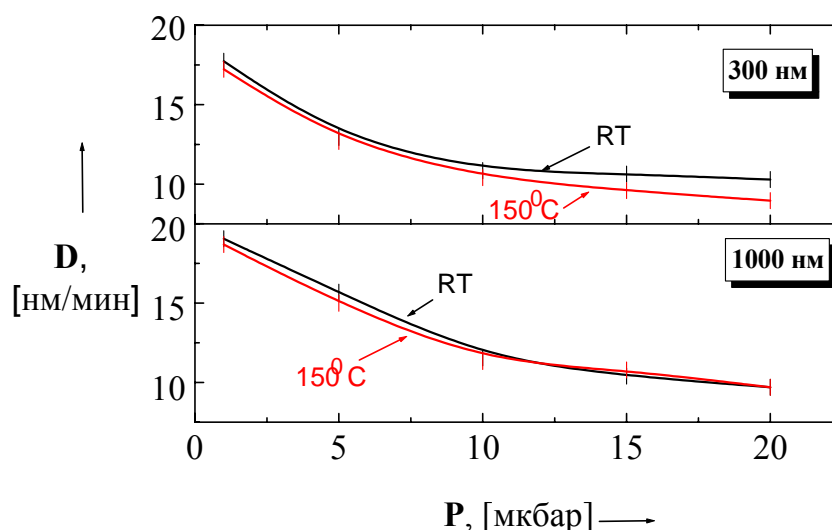


Рис. 2. Графіки залежності швидкості осадження плівок ZnO:Al різної товщини від робочого тиску, отриманих і температурах підкладки RT і 150°C.

Таблиця

Електричні та оптичні властивості плівок ZnO:Al, отриманих при різних технологічних параметрах магнетронного розпилу

| Ts, °C | P, мкбар | ρ , Ом·см ·10 ⁻⁴ | n, см ⁻³ ·10 ²⁰ | μ , см ² /В·с | T, % | d, нм |
|--------|----------|----------------------------------|---------------------------------------|------------------------------|------|-------|
| RT | 1 | 5,6 | 13 | 8,5 | 90,2 | 300 |
| | 5 | 9 | 10 | 7 | 89,3 | |
| | 10 | 14,4 | 6 | 7,2 | 91,1 | |
| | 15 | 26,5 | 4,2 | 5,6 | 89,5 | |
| | 20 | 21,3 | 3,8 | 7,6 | 89,7 | |
| | 1 | 3 | 21 | 9,9 | 88,1 | 1000 |
| | 5 | 4,9 | 19 | 6,7 | 86,4 | |
| | 10 | 13,5 | 16 | 2,9 | 88,7 | |
| | 15 | 31,8 | 10 | 1,9 | 90,6 | |
| | 20 | 37,7 | 9,9 | 1,7 | 89,6 | |
| 150 | 1 | 6,7 | 9,8 | 9,4 | 90,4 | 300 |
| | 5 | 7,1 | 9,2 | 9,5 | 90 | |
| | 10 | 14,9 | 5,6 | 7,4 | 90,5 | |
| | 15 | 22,5 | 2,6 | 10,6 | 90,8 | |
| | 20 | 20,5 | 3 | 10,1 | 90,9 | |
| | 1 | 3,9 | 21,3 | 7,5 | 87,5 | 1000 |
| | 5 | 4,4 | 19,7 | 7,2 | 88,5 | |
| | 10 | 7,8 | 17 | 4,7 | 89,4 | |
| | 15 | 20 | 9,3 | 3,3 | 90,1 | |
| | 20 | 25,5 | 10,2 | 2,4 | 89 | |

Подібні результати спостерігаються і для плівок, отриманих при температурі підкладки 150°C. Збільшення ρ від $3,9 \cdot 10^{-4}$ Ом·см до $25,5 \cdot 10^{-4}$ Ом·см для шарів ZnO:Al з товщиною 1000 нм, отриманих при Ts = 150°C, при збільшенні робочого тиску в камері від 1 мкбар до 20 мкбар обумовлено зменшенням n від $21,3 \cdot 10^{20}$ см⁻³ до $10,2 \cdot 10^{20}$ см⁻³ і μ від $7,5$ см²/(В·с) до $2,4$ см²/(В·с) (див. рис. 3).

Виявлена зміна концентрації основних носіїв

заряду в плівках ZnO:Al може бути обумовлена або перерозподілом атомів Al між електрично активними і електрично неактивними станами, або зміною концентрації електрично активних власних крапкових дефектів, основними з яких у шарах оксиду цинку є вакансії кисню. З літературних даних відомо [10,11], що внесок власних крапкових дефектів типу V_O, Zn_i у плівках оксиду цинку складає лише 5 % від внеску атомів легуючого речовини.

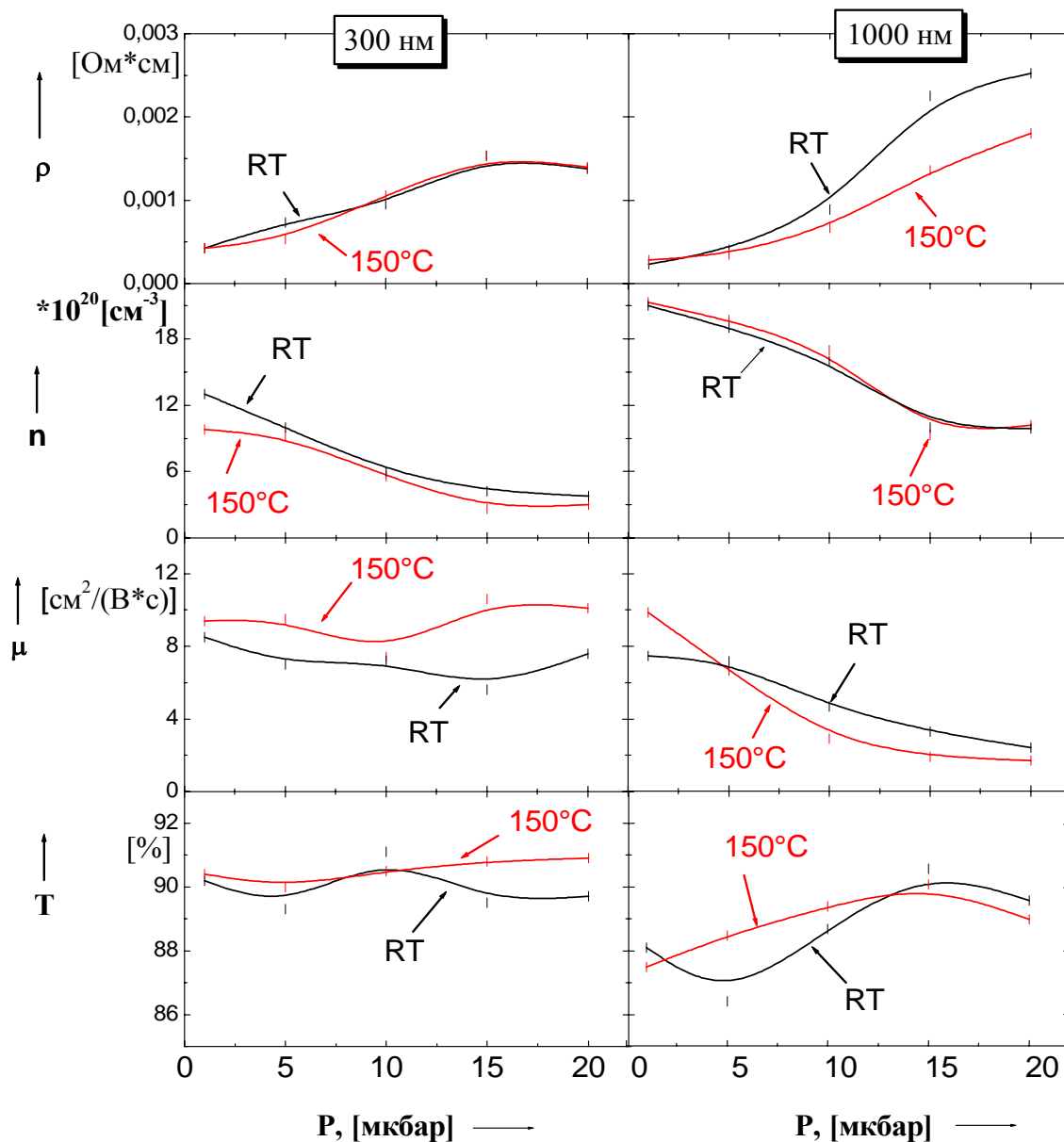


Рис. 3. Графіки залежності електрооптичних властивостей плівок ZnO:Al, отриманих при температурах підкладки RT і 150°C від парціального тиску.

Звідси, зміна концентрації основних носіїв заряду в плівках ZnO:Al, що спостерігається експериментально, при зміні фізико-технологічних параметрів магнетронного розпилення (таких як T_s і P) зв'язано з перерозподілом атомів Al між електрично активними і електрично не активними станами і не зв'язано з генерацією електрично активних власних крапкових дефектів n-типу провідності. Очевидно, збільшення робочого тиску у вакуумній камері зменшує ефективність процесу легування алюмінієм шару оксиду цинку в процесі розпилення.

Із збільшенням температури підкладки від RT до 150°C питомий електроопір для плівок ZnO:Al з товщиною 1000 нм зменшується, але для шарів з товщиною 300 нм зміна T_s не приводить до значної переїни величини ρ (див. рис. 3). Більш показовою є залежність для шарів з більшою товщиною.

Зміна концентрації основних носіїв при зміні

робочого тиску у вакуумній камері також підтверджується й оптичними вимірами плівок ZnO:Al. У результаті проведених оптичних досліджень було встановлено, що спектральні залежності коефіцієнта пропускання змінюються при зміні парціального тиску, що також свідчить про зміну концентрації основних носіїв заряду, що і було виявлено дослідженням е.р.с. Холю. На рис. 4 представлені спектральні залежності коефіцієнта пропускання для плівок ZnO:Al різної товщини, отриманих при різних значеннях температури підкладки і при варіюванні робочого тиску. Було показано, що коефіцієнт пропускання шарів ZnO:Al у видимій частині спектру зі збільшенням тиску збільшується немонотонно (рис. 3). Особливо помітне збільшення коефіцієнта пропускання від 86 % до 90 % (при $\lambda = 400-800$ нм) при збільшенні парціального тиску в камері для плівок ZnO:Al з товщиною 1000 нм.

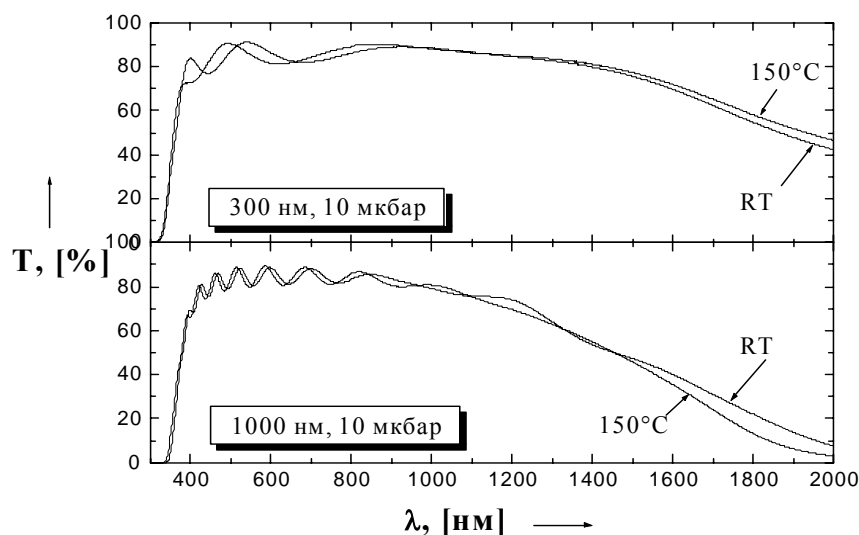
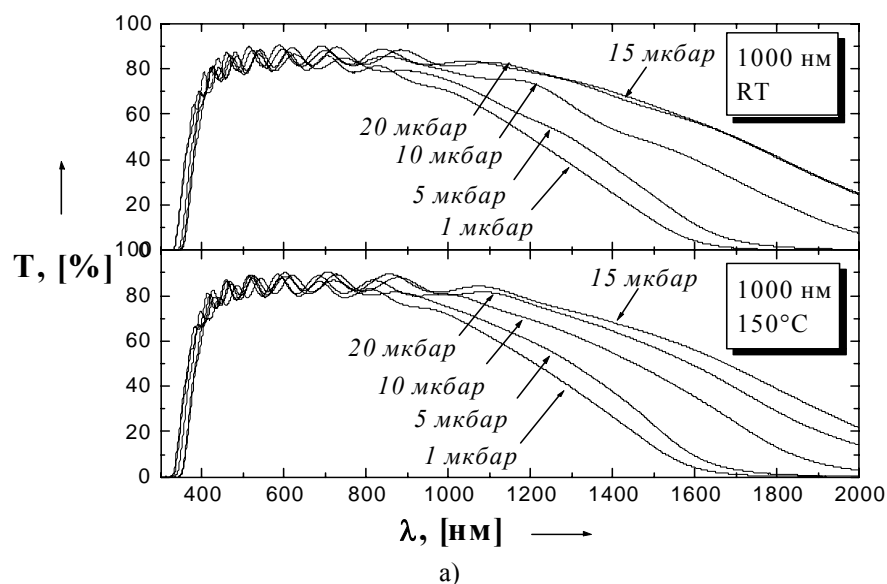


Рис. 4. Спектральні залежності коефіцієнта пропускання плівок ZnO:Al
а) – для плівок ZnO:Al товщиною 1000 нм;

б) – для плівок ZnO:Al, різної товщини, отриманих при температурах підкладки RT і 150°C.

Рентгенодифрактометричні дослідження кристалічної структури плівок ZnO:Al показали, що у всіх зразках формуються текстуровані в напрямку [0001] шари оксиду цинку гексагональної модифікації. На рис. 5 представлені рентгенограми плівок ZnO:Al, отриманих при різних температурах підкладки. У зразках ZnO:Al, отриманих при $T_s = RT$ і 150°C, тиску 5 мкбар на кутах $2\theta = 34,4^\circ$, $72,6^\circ$ спостерігаються дифракційні піки (0002), (0004), що відповідають фазі ZnO. У зразку, отриманому при температурі 150°C і тиску 20 мкбар, поряд з цими піками на куті $2\theta = 36,2^\circ$ виявляється дифракційний пік, що належить площини (1011) фази ZnO. Результати рентгеноструктурних досліджень цілком узгоджуються з результатами електрофізичних досліджень. З ростом ступеня структурної досконалості плівок збільшується рухливість носіїв заряду і росте їхня концентрація. Зменшення

робочого тиску у вакуумній камері від 20 мкбар до 1 мкбар для плівок товщиною 1000 нм, приводить до істотного збільшення розмірів областей когерентного розсіювання від 600 Å до 950 Å і незначному зменшенню величини мікродеформації від $0,38 \cdot 10^{-3}$ до $0,26 \cdot 10^{-3}$.

Збільшення концентрації основних носіїв заряду, що спостерігається у плівок ZnO:Al при зменшенні робочого тиску від 20 мкбар до 1 мкбар, може бути викликано зменшенням ступеня розвиненості зернограничної поверхні плівок. Тому що при зменшенні поверхні зменшується кількість атомів Al на ній, що знаходяться в електрично неактивному стані, а кількість атомів Al, що знаходяться в електрично активному стані в об'ємі зерна, на позиціях атомів цинку – росте. Зменшення ступеня розвиненості зернограничної поверхні плівок приводить також до збільшення рухливості основних

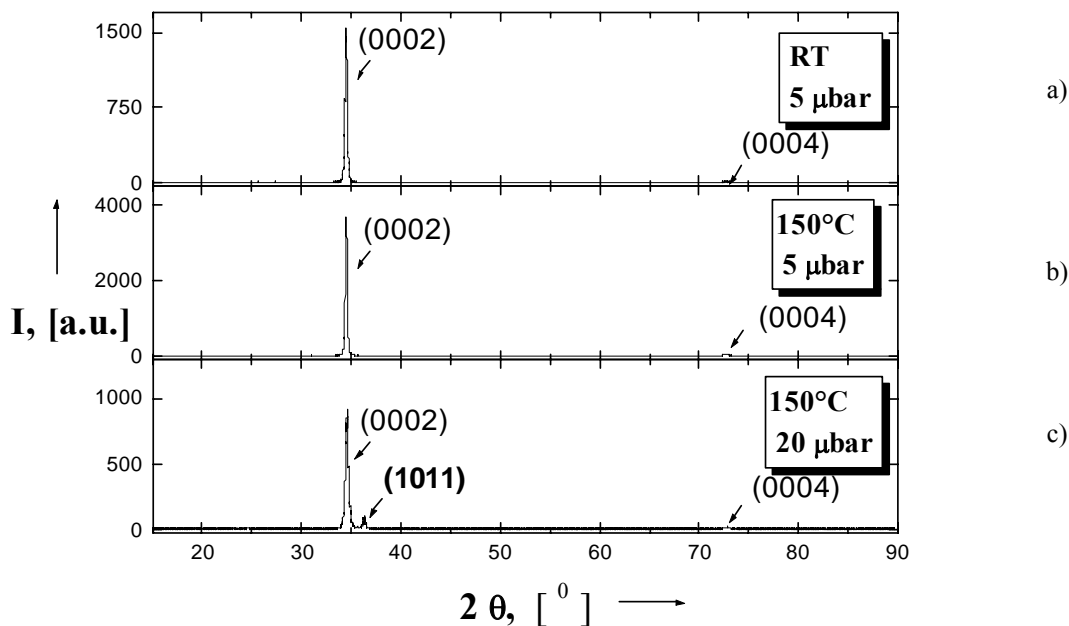


Рис. 5. Рентгенограми плівок ZnO:Al отриманих у випромінюванні мідного аноду:
 а) рентгенограма плівки ZnO:Al, отриманої при $T_s = RT$ і $P = 5$ мкбар;
 б) рентгенограма плівки ZnO:Al, отриманої при $T_s = 150^\circ\text{C}$ і $P = 5$ мкбар;
 в) рентгенограма плівки ZnO:Al, отриманої при $T_s = 150^\circ\text{C}$ і $P = 20$ мкбар.

носіїв заряду, що обумовлено зменшенням розсіювання носіїв на границях зерен.

IV. Висновки

1. Методом магнетронного неактивного височастотного розпилення отримані плівки ZnO:Al приладової якості.

2. Проведено комплексне дослідження електричних, оптичних і структурних параметрів отриманих плівок ZnO:Al. Показано, що із збільшенням тиску від 1 мкбар до 20 мкбар спостерігається збільшення питомого електроопору плівок у зв'язку зі зменшенням концентрації і рухливості основних носіїв заряду. Зміна температури підкладки від RT до 150°C майже не впливає на оптичні параметри шарів.

3. Показано, що для шарів ZnO:Al, отриманих при варіюванні робочого тиску у вакуумній камері, відбувається зміна кривих спектральної залежності коефіцієнта пропускання плівок, що зв'язана із зміною концентрації основних носіїв, що підтверджується і дослідженнями е.р.с. Холу. Цей ефект може бути викликаний зменшенням ступеня

розвиненості зернограничної поверхні плівок.

4. Встановлено, що найбільш оптимальними параметрами володіють плівки, отримані при температурі підкладки 150°C і значенні робочого тиску 10 мкбар. Величина питомого електроопору плівок товщиною 1000 нм складає $7,8 \cdot 10^{-4}$ Ом·см при прозорості у видимій частині спектру 89%. Ці параметри дозволяють використовувати такі шари ZnO:Al у якості широкозонних "вікон" при створенні фотоелектричних перетворювачів сонячної енергії.

V. Acknowledgements

The author wish to acknowledge all IPE collaborators, especially to Dr. H.-W. Schock, and Kai Korgassa. This work has been realised thanks to assistance of DAAD organisation.

Ковтун Н.А. – інженер кафедри „Фізичне матеріалознавство для електроніки та геліоенергетики”.

- [1] К. Чопра, С. Дас. *Тонкопленочные солнечные элементы*. Мир, М., 450 с. (1986).
- [2] Т. Вальтер, В.Ю. Рудь, Ю.В. Рудь, Г.В. Шок. Фоточувствительность тонкопленочных солнечных элементов ZnO/CdS/Cu(In,Ga)Se₂ // *ФТП*, **31**(7), сс. 806-810 (1997).
- [3] D. Schmid, M. Ruckh, H.W. Schock. A comprehensive characterization of the interfaces in Mo/CIS/CdS/ZnO solar cell structures // *Solar Energy Mater. Solar Cells*, **41/42**, pp. 281-294 (1996).

- [4] L. Stolt, J. Hedstrom, J. Kessler, M. Ruckh, K.-O. Velthaus, H.W. Schock. ZnO/CdS/CinSe₂ thin-film solar cells with improved performance // *Appl. Phys. Lett.*, **62**(6), pp. 597-599 (1993).
- [5] K. Ellmer. Magnetron sputtering of transparent conductive zinc oxide: relation between the sputtering parameters and the electronic properties // *J. Phys. D: Appl. Phys.*, **33**, pp. 17-32 (2000).
- [6] T. Minami, H. Sonohara, S. Takata, I. Fukuda. Low temperature formation of textured ZnO electrodes // *J. Vac. Sci. Technol.*, **13**(3), pp. 1053-1057 (1995).
- [7] T. Nakada, T. Mise, T. Kume and A. Kunioka. Superstrate-Type Cu(In,Ga)Se₂ thin film solar cells with ZnO buffer layers // *14th European Photovoltaic Solar Energy Conference and Exhibition, Barselona (Spain)*, pp. 202-203 (1997).
- [8] N. Balasubramanian and A. Subramanyam. Electrical and optical properties of reactive evaporated indium tin oxide (ITO) films-dependence on substrate temperature and tin concentration // *J. Phys. D: Appl. Phys.*, **22**, pp. 206-209 (1989).
- [9] Л.П. Павлов. *Методы измерения параметров полупроводниковых материалов*. Высш. шк., М., 239 с. (1987).
- [10] P. Kofstad. Nonstoichiometry diffusion and electrical conductivity in binary metal oxides // *Interscience. New York.*, **2**, pp. 1218-1220 (1972).
- [11] B.T. Boyko, G.S. Khrypunov, V.R. Kopach. Electrical properties of transparent polycrystalline ZnO:In films deposited by magnetron sputtering // *Functional Materials*, **5**(1), pp. 130-132 (1998).

N.A. Kovtun

Investigation of the Structure and Electrical Properties ZnO Doping Films, Obtained by Reactive Magnetron Sputtering Method

*National University "Kharkiv Polytechnic Institute",
21, Frunze Str., Kharkiv, 61002, Ukraine,
E-mail: root@fmeg.kpi.kharkov.ua, nazarko1@ukr.net*

The investigation of the crystalline structure and electrical properties of the transparent ZnO:Al film, obtained by high-frequency magnetron sputtering method, was carried out. Optoelectrical properties of the transparent ZnO:Al films, which were obtained under different values of the temperature of substrate and working pressure in vacuum camera, were optimized. It is defined, that with increase of the pressure from 1 μbar to 20 μbar the specific electric resistance of the films is increasing due to the reduction of concentrations and mobilities of the main carriers of charge.